

Алгоритмы прямого численного моделирования динамики дисперсной фазы при обтекании тела запыленным потоком¹

Д.Л. Ревизников, А.В. Способин

Предложена реализация дискретно-элементного метода для моделирования гетерогенных потоков, в которой каждой физической частице ставится в соответствие одна моделирующая. Математическая модель позволяет учесть отражение частиц примеси от препятствий, столкновение частиц друг с другом и их закрутку. Выполнены расчеты сверхзвукового обтекания цилиндра двухфазным потоком. Представлены результаты, иллюстрирующие важность учета взаимодействия частиц в ударном слое и их вращения при исследовании динамического и теплового воздействия примеси на поверхность обтекаемого тела.

Введение

Один из наиболее точных подходов к моделированию двухфазных течений основан на сочетании эйлерового описания несущей фазы и лагранжевого описания динамики дисперсной фазы. Различные реализации такого подхода описаны, например, в [1-5]. В частности, широкое распространение нашел дискретно-элементный метод, предполагающий вычисление положения и соответствующих параметров каждой моделирующей частицы в различные моменты времени, что позволяет получить детальную пространственно - временную картину распределения частиц в исследуемой области с учетом взаимодействия частиц между собой. В большинстве работ, посвященных динамике столкновительной примеси, каждая моделирующая частица рассматривается как представитель группы физических частиц, а учет столкновений осуществляется с использованием метода Монте-Карло. При этом распределение характеристик дисперсной фазы определяется путем суммирования вкладов различных моделирующих частиц в ячейках эйлеровой сетки.

В настоящей работе осуществляется реализация рассматриваемого подхода в наиболее полном варианте. Каждой вычислительной частице соответствует одна реальная частица. Методика расчета предполагает распараллеливание вычислений при решении уравнений движения частиц и на этапе поиска соударений. Несмотря на высокие требования к вычислительным ресурсам, этот подход обладает рядом преимуществ, позволяя:

¹ Работа выполнена при поддержке РФФИ (проект № 05-08-01478-а)

- с высокой точностью определять характеристики дисперсной фазы в заданной точке в конкретный момент времени;
- наблюдать за движением каждой частицы, учитывая при этом взаимодействие частиц друг с другом и их отражение от обтекаемой поверхности;
- исследовать переходные процессы, возникающие при входе объекта в запыленное облако;
- получить параметры динамического и теплового воздействия дисперсной фазы на поверхность обтекаемого тела.

Математическая модель

В данной работе описана реализация двумерной модели и ее применение к расчету воздействия примеси на экранируемую поверхность при поперечном обтекании кругового цилиндра. Рассматривается диапазон концентраций, в котором можно пренебречь обратным влиянием дисперсной фазы на течение несущего газа. Поэтому основное внимание уделяется моделированию движения частиц, их взаимодействия друг с другом и поверхностью тела.

Реализуется решение следующей группы задач: генерация частиц, равномерно распределенных в области невозмущенного газового потока в соответствии с заданным законом распределения частиц по размерам; решение уравнений движения частиц в газодинамическом поле; моделирование соударений частиц друг с другом; моделирование взаимодействия частиц с обтекаемым телом.

Частицы считаются однородными твердыми шарами заданной плотности. Каждая моделирующая частица поставлена в соответствие одной реальной в поперечном сечении области течения. Движение частицы в газовом потоке описывается системой уравнений

$$m_p \frac{d\vec{v}_p}{dt} = \vec{F}$$

$$I_p \frac{d\vec{\omega}_p}{dt} = \vec{T}_\omega$$

где m_p , I_p , \vec{v}_p , $\vec{\omega}_p$ - масса, момент инерции, скорость и угловая скорость частицы, \vec{F} -

внешние силы, \vec{T}_ω - момент внешних сил. В качестве внешних сил, приложенных к частице,

учитывались сила аэродинамического сопротивления \vec{F}_D и сила Магнуса \vec{F}_M , вызванная

вращением частицы. На угловую скорость оказывает воздействие вращающий момент \vec{T}_ω .

Сила аэродинамического сопротивления обусловлена разницей скоростей газа и частицы и определяется выражением

$$\vec{F}_D = \frac{\pi r_p^2}{2} c_d \rho_g (\vec{v}_g - \vec{v}_p) |\vec{v}_g - \vec{v}_p|$$

где r_p - радиус частицы, ρ_g - плотность и \vec{v}_g - скорость газа. Коэффициент сопротивления

сложным образом зависит от чисел Маха и Рейнольдса $c_d = c_d(\text{Re}_p, M_p)$ и определяется в настоящей работе соотношением Хендерсона [6].

Вследствие соударений друг с другом или отражения от поверхности частицы приобретают вращательное движение. Причем, величина угловой скорости может достигать десятков и сотен тысяч радиан в секунду. Вращающаяся частица подвержена действию силы Магнуса

$$\vec{F}_M = \pi r_p^3 c_\omega \rho_g \left[\left(\frac{1}{2} \nabla \times \vec{v}_g - \vec{\omega}_p \right) \times (\vec{v}_g - \vec{v}_p) \right]$$

Коэффициент $c_\omega = c_\omega(\text{Re}_p, \text{Re}_\omega)$ определяется следующим образом [7], [8]:

$$c_\omega = \begin{cases} 1, & \frac{\text{Re}_\omega}{\text{Re}_p} \leq 0.45 \\ 0.45 \frac{\text{Re}_p}{\text{Re}_\omega} + \left(1 - 0.45 \frac{\text{Re}_p}{\text{Re}_\omega} \right) \cdot \exp(-0.05684 \text{Re}_\omega^{0.4} \text{Re}_p^{0.3}), & \frac{\text{Re}_\omega}{\text{Re}_p} > 0.45 \end{cases}$$

Выражение для вращающего момента имеет вид

$$\vec{T}_\omega = \frac{r_p^5}{2} c_l \rho_g \left(\frac{1}{2} \nabla \times \vec{v}_g - \vec{\omega}_p \right) \left| \frac{1}{2} \nabla \times \vec{v}_g - \vec{\omega}_p \right|$$

Выражение для коэффициента момента $c_l = c_l(\text{Re}_\omega)$ заимствовано из работы [9]:

$$c_l(\text{Re}_\omega) = \begin{cases} \frac{64 \pi}{\text{Re}_\omega}, & \text{Re}_\omega \leq 32 \\ \frac{12.9}{\text{Re}_\omega^{0.5}} + \frac{128.4}{\text{Re}_\omega}, & \text{Re}_\omega > 32 \end{cases}$$

Здесь M_p - число Маха, Re_p , Re_ω - числа Рейнольдса для относительного поступательного

и вращательного движения соответственно:

$$M_p = \frac{|\vec{v}_p - \vec{v}_g|}{\sqrt{\gamma RT}}, \quad \text{Re}_p = \frac{2r_p \rho_g |\vec{v}_p - \vec{v}_g|}{\mu_g}, \quad \text{Re}_\omega = \frac{4r_p^2 \rho_g \left| \frac{1}{2} \nabla \times \vec{v}_g - \vec{\omega}_p \right|}{\mu_g}$$

где R - газовая постоянная, γ - показатель адиабаты, μ_g - коэффициент вязкости газа, определяемый по формуле Саттерленда, T - температура газа.

Для определения параметров частицы после соударения с другой частицей используется модель твердых сфер [3]. В ее основе лежат уравнения для импульса и момента импульса системы двух частиц:

$$m_1 (\vec{v}_1 - \vec{v}_1^{(0)}) = \vec{J}$$

$$m_2 (\vec{v}_2 - \vec{v}_2^{(0)}) = -\vec{J}$$

$$I_1 (\vec{\omega}_1 - \vec{\omega}_1^{(0)}) = r_1 \vec{n} \times \vec{J}$$

$$I_2 (\vec{\omega}_2 - \vec{\omega}_2^{(0)}) = r_2 \vec{n} \times \vec{J}$$

где \vec{n} - единичный вектор, направленный из центра масс частицы 1 в центр масс частицы 2, r_1

и r_2 - радиусы, m_1 и m_2 - массы, I_1 и I_2 - моменты инерции первой и второй частиц

соответственно. Индексом (0) обозначены параметры частиц до столкновения. Данная система

не является замкнутой и может быть дополнена соотношениями для компонент скорости в точке контакта частиц:

$$\vec{G}_c^{(0)} = \vec{G}^{(0)} + r_1 \vec{\omega}_1^{(0)} \times \vec{n} + r_2 \vec{\omega}_2^{(0)} \times \vec{n}$$

Здесь $\vec{G}^{(0)} = \vec{v}_1^{(0)} - \vec{v}_2^{(0)}$, $\vec{G} = \vec{v}_1 - \vec{v}_2$ - относительные скорости центров масс частиц до и после

удара. Тангенциальная компонента относительной скорости

$$\vec{G}_{ct}^{(0)} = \vec{G}_c^{(0)} - (\vec{G}^{(0)} \cdot \vec{n}) \vec{n} = \vec{G}^{(0)} - (\vec{G}^{(0)} \cdot \vec{n}) \vec{n} + r_1 \vec{\omega}_1^{(0)} \times \vec{n} + r_2 \vec{\omega}_2^{(0)} \times \vec{n}$$

Импульс может быть представлен в виде суммы нормальной и тангенциальной составляющих

$$\vec{J} = J_n \vec{n} + J_t \vec{t}, \text{ где } \vec{t} = \frac{\vec{G}_{ct}^{(0)}}{|\vec{G}_{ct}^{(0)}|}. \text{ Коэффициенты восстановления } e \text{ и трения } f \text{ вводятся как}$$

$$\vec{n} \cdot \vec{G} = -e (\vec{n} \cdot \vec{G}^{(0)}), \quad J_t = f J_n. \text{ В зависимости от режима проскальзывания частиц выделяют два}$$

множества решений. Если выполнено соотношение

$$\frac{\vec{n} \cdot \vec{G}^{(0)}}{|\vec{G}_{ct}^{(0)}|} < \frac{2}{7} \frac{1}{f(1+e)},$$

продолжается в течение всего процесса взаимодействия, и параметры частиц после удара равны:

$$\vec{v}_1 = \vec{v}_1^{(0)} - (\vec{n} - f \vec{t}) (\vec{n} \cdot \vec{G}^{(0)}) (1+e) \frac{m_2}{m_1 + m_2}$$

$$\vec{v}_2 = \vec{v}_2^{(0)} + (\vec{n} - f \vec{t}) (\vec{n} \cdot \vec{G}^{(0)}) (1+e) \frac{m_1}{m_1 + m_2}$$

$$\vec{\omega}_1 = \vec{\omega}_1^{(0)} - \frac{5}{2r_1} (\vec{n} \cdot \vec{G}^{(0)}) (\vec{n} \times \vec{t}) f (1+e) \frac{m_2}{m_1 + m_2}$$

$$\vec{\omega}_2 = \vec{\omega}_2^{(0)} - \frac{5}{2r_2} (\vec{n} \cdot \vec{G}^{(0)}) (\vec{n} \times \vec{t}) f (1+e) \frac{m_1}{m_1 + m_2}$$

В противном случае скольжение прекращается, и относительная скорость точки контакта

становится равной нулю, поэтому

$$J_t = -\left(\frac{2}{7}\right) \frac{m_1 m_2}{m_1 + m_2} |\vec{G}_{ct}^{(0)}|, \text{ и решение:}$$

$$\vec{v}_1 = \vec{v}_1^{(0)} - \left\{ (1+e) (\vec{n} \cdot \vec{G}^{(0)}) \vec{n} + \frac{2}{7} |\vec{G}_{ct}^{(0)}| \vec{t} \right\} \frac{m_2}{m_1 + m_2}$$

$$\vec{v}_2 = \vec{v}_2^{(0)} + \left\{ (1+e) (\vec{n} \cdot \vec{G}^{(0)}) \vec{n} + \frac{2}{7} |\vec{G}_{ct}^{(0)}| \vec{t} \right\} \frac{m_1}{m_1 + m_2}$$

$$\vec{\omega}_1 = \vec{\omega}_1^{(0)} - \frac{5}{7r_1} |\vec{G}_{ct}^{(0)}| (\vec{n} \times \vec{t}) \frac{m_2}{m_1 + m_2}$$

$$\vec{\omega}_2 = \vec{\omega}_2^{(0)} - \frac{5}{7r_2} |\vec{G}_{ct}^{(0)}| (\vec{n} \times \vec{t}) \frac{m_1}{m_1 + m_2}$$

При расчете взаимодействия частицы с поверхностью обтекаемого тела используется модель твердых сфер [3]. В ее основе также лежат уравнения для импульса и момента импульса. В процессе взаимодействия выделяют период сжатия и период восстановления. Скольжение частицы

относительно поверхности может продолжаться в течение всего процесса взаимодействия или прекратиться в какой-либо период. Система координат вводится таким образом, что плоскость

$X-Z$ - касательная к поверхности в точке удара, ось Y ортогональна плоскости $X-Z$.

Если скорость частицы удовлетворяет условию

$$\frac{v_y^{(0)}}{|\vec{v}^{(0)}|} < \frac{2}{7f(e+1)}$$

следующим образом:



$$v_Y = -ev_Y^{(0)}$$

f

$$f, \quad \omega_Y = \omega_Y^{(0)}, \quad \omega_Z = -\frac{v_X}{r}$$

В противном случае, если верно

$$-\frac{2}{7f(e+1)} < \frac{v_y^{(0)}}{|\vec{v}^{(0)}|} < 0$$

от поверхности определяются формулами:

$$v_X = v_X^{(0)} + \varepsilon_X f(e+1)v_Y^{(0)}$$

$$v_Y = -ev_Y^{(0)}$$

$$v_Z = v_Z^{(0)} + \varepsilon_Z f(e+1)v_Y^{(0)}$$

$$\omega_X = \omega_X^{(0)} - \frac{5}{2r} \varepsilon_Z f(e+1)v_Y^{(0)}$$

$$\omega_Y = \omega_Y^{(0)}$$

$$\omega_Z = \omega_Z^{(0)} + \frac{5}{2r} \varepsilon_X f(e+1)v_Y^{(0)}$$

Здесь $\varepsilon_X, \varepsilon_Z$ - направляющие косинусы проекции скорости до удара в плоскости $X-Z$.

Коэффициент восстановления не является постоянным и определяется соотношением [10]

$$e(v) = \begin{cases} 1 - (1 - e_0) \left(\frac{v}{v_0} \right)^{1/5}, & v \leq v_0 \\ e_0 \left(\frac{v}{v_0} \right)^{-1/4}, & v > v_0 \end{cases}$$

Здесь: v - модуль нормальной составляющей скорости в момент соударения с поверхностью, а

e_0 и v_0 определяются характеристиками материала.

Наряду с описанной выше моделью твердых сфер реализована двумерная полуэмпирическая модель ударного взаимодействия [11]. В ее основе помимо законов механики лежит набор экспериментальных данных для коэффициентов восстановления скорости частиц. Параметры частицы после отскока от поверхности определяются соотношениями:

$$v_Y = -e_N v_Y^{(0)},$$

$$v_X = \begin{cases} v_X^{(0)} e_T + \omega^{(0)} r (e_T - 1), & \beta < \beta^c \\ v_X^{(0)} e_T - \frac{2}{7} \omega^{(0)} r, & \beta \geq \beta^c \end{cases}$$

$$\omega = \begin{cases} \frac{5 v_X^{(0)} (e_T - 1)}{2 r} + \frac{5}{2} \omega^{(0)} \left(e_T - \frac{3}{5} \right), & \beta < \beta^c \\ -\frac{v_X^{(0)} e_T}{r} + \frac{2}{7} \omega^{(0)}, & \beta \geq \beta^c \end{cases}$$

Здесь ось Y направлена по нормали к поверхности в точке удара, X ей ортогональна, $v_X^{(0)}$,

$v_Y^{(0)}$, $\omega^{(0)}$, v_X , v_Y , ω - компоненты скорости и угловой скорости частицы до и после

соударения, e_N , e_T - коэффициенты восстановления нормальной и тангенциальной компонент

импульса, r - радиус частицы, β - угол между $\vec{v}^{(0)}$ и осью X , β^c - критическое

значение угла.

Особенности реализации модели

При реализации описанной модели возникает необходимость получения пробного набора частиц. В начальный момент времени распределение частиц соответствует некоторому случайному сечению области невозмущенного течения плоскостью, ортогональной оси цилиндра. Введем

систему координат $Oxyz$. Ось Oz совпадает с осью цилиндра, ось Ox направлена вдоль течения, ось Oy им ортогональна. Определим число частиц в двумерной области

$(x_A, x_B) \times (y_A, y_B)$, соответствующее объемной концентрации примеси C_V . Рассмотрим объем

$(x_A, x_B) \times (y_A, y_B) \times (0, h)$, равномерно заполненный примесью. Объем, занимаемый примесью,

равен $V_p = C_V (x_B - x_A)(y_B - y_A)h$. Вследствие равномерного распределения примеси все сечения

данного объема плоскостями, параллельными Oxy равноправны. В каждом сечении примесь в

среднем занимает площадь S_p . Поскольку частицы распределены в

$$S_p = \frac{V_p}{h} = C_V (x_B - x_A)(y_B - y_A)$$

объеме равномерно, их центры масс в общем случае не лежат в плоскости сечения. Средняя

площадь сечения одной частицы составляет S' . Таким образом,

$$S' = \frac{1}{2r} \int_{-r}^r \pi (r^2 - z^2) dz = \frac{2}{3} \pi r^2$$

число частиц радиуса r в области $(x_A, x_B) \times (y_A, y_B)$ при объемной концентрации примеси

C_V равно $N = \frac{S_p}{S'} = \frac{3 C_V (x_B - x_A)(y_B - y_A)}{2 \pi r^2}$. В полидисперсной примеси каждому сорту частиц

соответствует объемная концентрация $C_{Vk} = q_k C_V$ и число частиц в

рассматриваемой области

$$N_k = \frac{3 q_k C_V (x_B - x_A)(y_B - y_A)}{2 \pi r^2}$$

Расчет производится с шагом по времени τ . Для решения уравнений движения применяется метод Рунге-Кутты пятого порядка точности. После вычисления перемещения частиц за интервал

производится поиск соударений частиц друг с другом и с поверхностью тела. Для $(t_{k-1}; t_k]$ определения момента времени и параметров удара частицы о тело применяется методика половинного деления интервала расчета. Для поиска момента соударения двух частиц используется аппроксимация пространственных координат квадратными многочленами по времени

$$x_k(t) = a_{kx} t^2 + b_{kx} t + c_{kx}$$

$$y_k(t) = a_{ky} t^2 + b_{ky} t + c_{ky}$$

Условием соударения частиц i и j служит равенство расстояния между их центрами масс

сумме радиусов $(x_i(t) - x_j(t))^2 + (y_i(t) - y_j(t))^2 = (r_i + r_j)^2$. Представленное уравнение четвертой

степени решается путем сведения его к уравнению третьей степени с помощью специального вида замены переменной [12]. Для каждой пары находящихся в зоне досягаемости друг для друга за

интервал $(t_{k-1}; t_k]$ частиц проверяется возможность столкновения. Формируется единая очередь

событий, включающая также удары о поверхность тела. Она обрабатывается последовательно, начиная с самого раннего столкновения. Событие, произошедшее в момент времени $t_{k-1} + \tau^i$ с

частицей i , влечет за собой расчет ее параметров после удара, аннулирование всех

последующих известных событий, в которых она участвовала, решение уравнений движения на

интервале $(t_{k-1} + \tau^i; t_k]$, поиск новых столкновений и добавление их в общую очередь.

Методика расчета допускает распараллеливание на этапах решения уравнений движения и поиска соударений. Выполнена программная реализация алгоритма для многопроцессорных систем.

Результаты

В данном разделе иллюстрируются возможности разработанного программно-алгоритмического аппарата.

Проведена серия вычислительных экспериментов по моделированию обтекания кругового цилиндра радиусом 3 см газом с примесью в условиях атмосферы на высоте 10 км, число Маха набегающего потока равно 6. Параметры газа в ударном слое определялись с использованием табличных данных [13,14]. Материал частиц – песок с плотностью 2500 кг/м^3 , диаметр частиц примеси 5, 10 и 50 мкм. Все частицы в каждом из экспериментов считались однородными шарами одинакового размера и плотности. Объемная концентрация дисперсной фазы в области невозмущенного течения составляла 10^{-5} и 10^{-4} .

Расчеты проводились для следующих моделей дисперсной примеси: а) бесстолкновительная модель (без учета вращения и столкновений друг с другом); б) столкновительная модель, учитывающая соударения между частицами, но не учитывающая их закрутку; в), столкновительная модель поступательно-вращательного движения частиц, учитывающая как вращение частиц, так и их взаимодействие между собой.

Цель экспериментов – оценить значимость учета вращения частиц и их взаимодействия друг с другом с точки зрения воздействия дисперсной фазы на поверхность обтекаемого тела.

В качестве показателей динамического воздействия выбраны следующие характеристики: интенсивность соударений, представляющая собой число ударов частиц, приходящихся на единицу площади поверхности в единицу времени, и среднее значение нормальной составляющей скорости частиц в момент удара о поверхность. В качестве меры теплового воздействия дисперсной фазы на обтекаемое тело рассматривается потеря кинетической энергии частиц в результате соударения с экранируемой поверхностью, отнесенная к единице площади в единицу времени. Эта величина в дальнейшем называется удельной мощностью воздействия. При построении графиков характеристик применялось осреднение по пространству с шагом 1° , учитывались столкновения частиц по окончании переходного периода. Временной интервал осреднения в зависимости от режима варьировался от $2 \cdot 10^{-4}$ до 10^{-2} с. Учитывались удары со скоростями, превышающими 1 м/с.

На рис.1 представлены распределения частиц диаметром 5 мкм в различные моменты времени сразу после попадания тела в пылевое облако. Результаты получены по бесстолкновительной модели при концентрации примеси в области невозмущенного течения 10^{-5} . Видно постепенное

формирование в рамках ударного слоя зоны повышенной концентрации частиц вблизи обтекаемой поверхности.

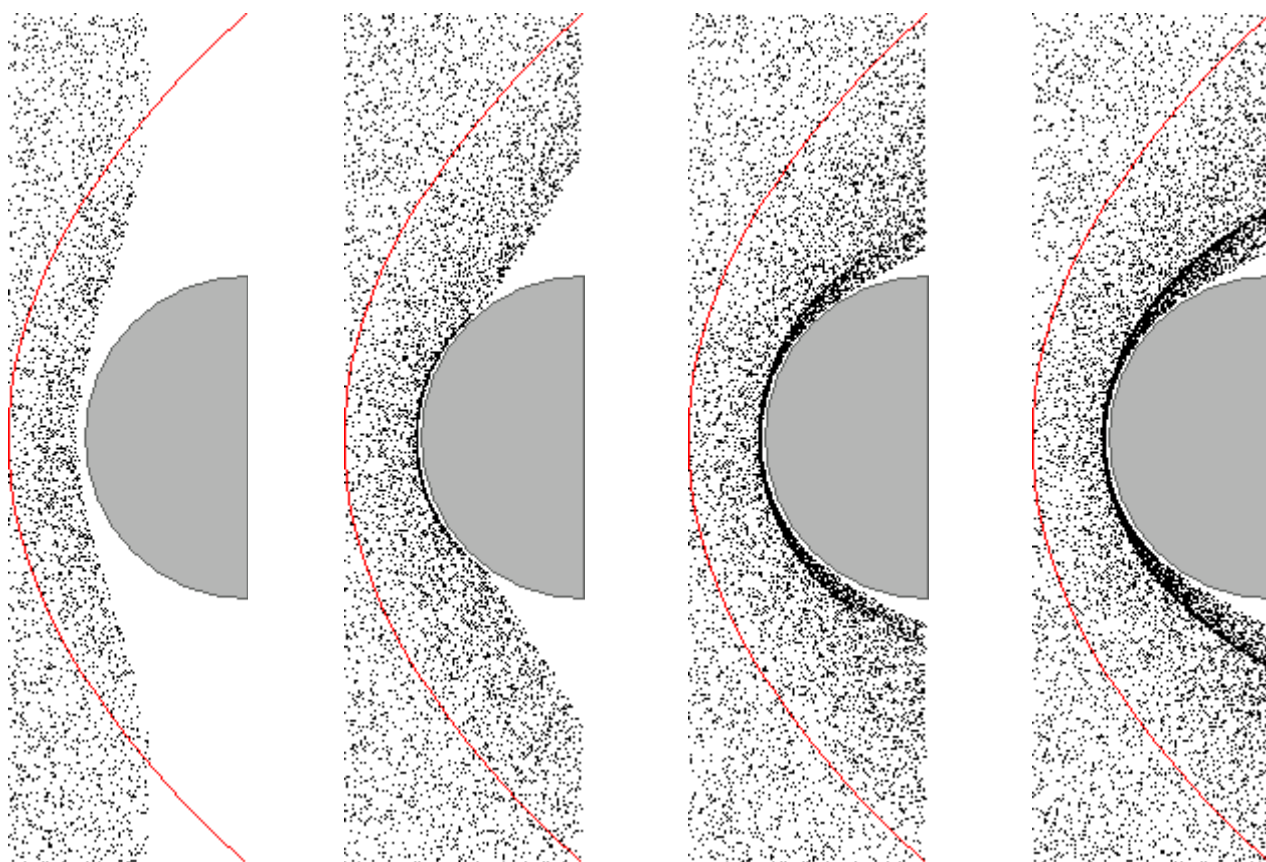


Рис. 1. Эволюция распределения частиц диаметром 5 мкм без учета соударений и вращения.

На рис.2 представлены установившиеся распределения частиц, полученные по трем различным моделям. Учет взаимодействия частиц друг с другом приводит к размыванию границы рассматриваемой и повышению концентрации примеси вблизи поверхности. Вращение частиц способствует некоторому расширению зоны повышенной концентрации, однако существенного вклада в картину распределения не вносит.

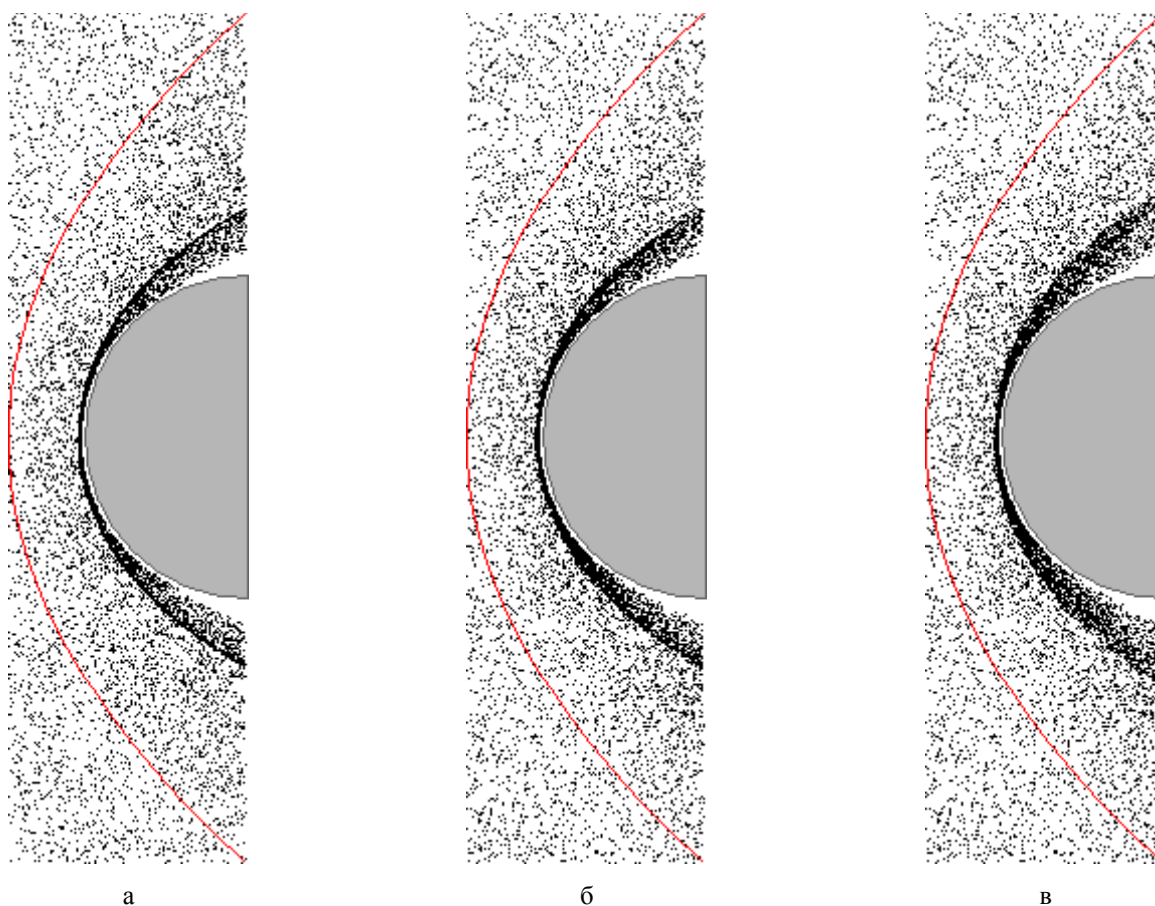


Рис. 2. Установившееся распределение примеси частиц диаметром 5 мкм в режимах:
а) без соударений и вращения; б) с учетом соударений; в) с учетом соударений и вращения.

На рисунках 3-5 приведены графики параметров динамического и теплового воздействия примеси частиц диаметром 5 мкм на поверхность тела.

Из графика на рис.3 видно, что учет соударений частиц приводит примерно к двукратному росту интенсивности ударов о поверхность тела уже при объемной концентрации примеси 10^{-5} .

Повышение концентрации до 10^{-4} влечет многократное увеличение числа ударов частиц о тело.

При этом наблюдается значительное уменьшение средней нормальной скорости частицы в момент соударения с поверхностью. Поскольку число частиц в экспериментах с учетом взаимодействия частиц и без такового было одинаковым, можно сделать вывод, что наблюдаются повторные неоднократные удары частицы о поверхность со снижающимися скоростями.

Распределение удельной мощности по продольной координате для частиц диаметром 5 мкм показано на рис. 5. Видно, что учет соударений приводит к ослаблению теплового воздействия частиц на тело практически на всей поверхности, что связано с экранирующим эффектом отраженных частиц. В особой мере это проявляется в окрестности передней критической точки.

Учет вращения частиц вызывает дальнейшее ослабление теплового воздействия практически на всей поверхности цилиндра.

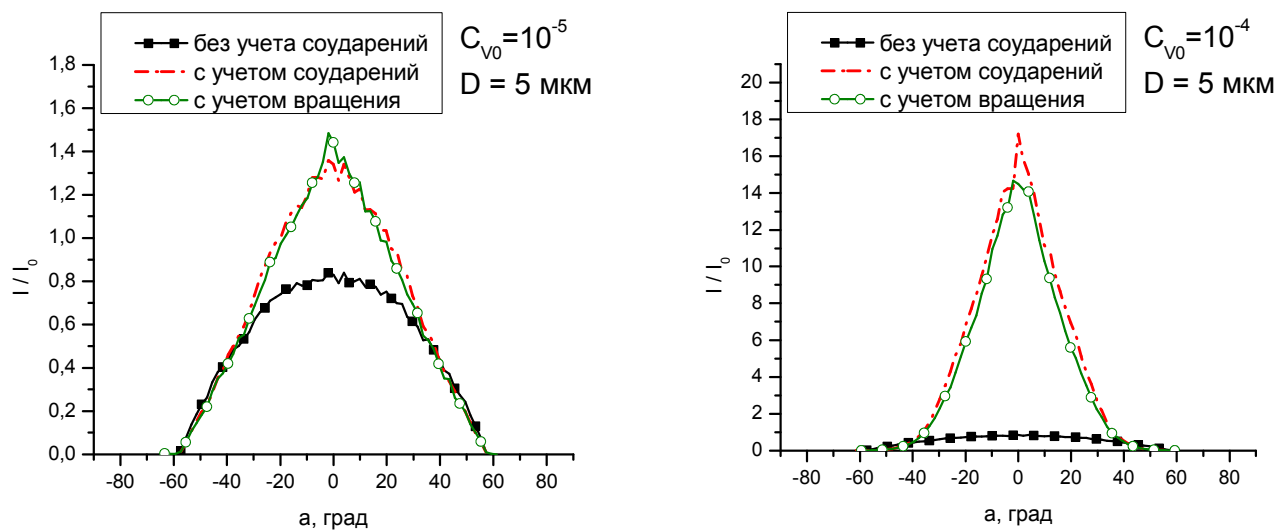


Рис. 3. Интенсивность ударов о тело частиц диаметром 5 мкм.

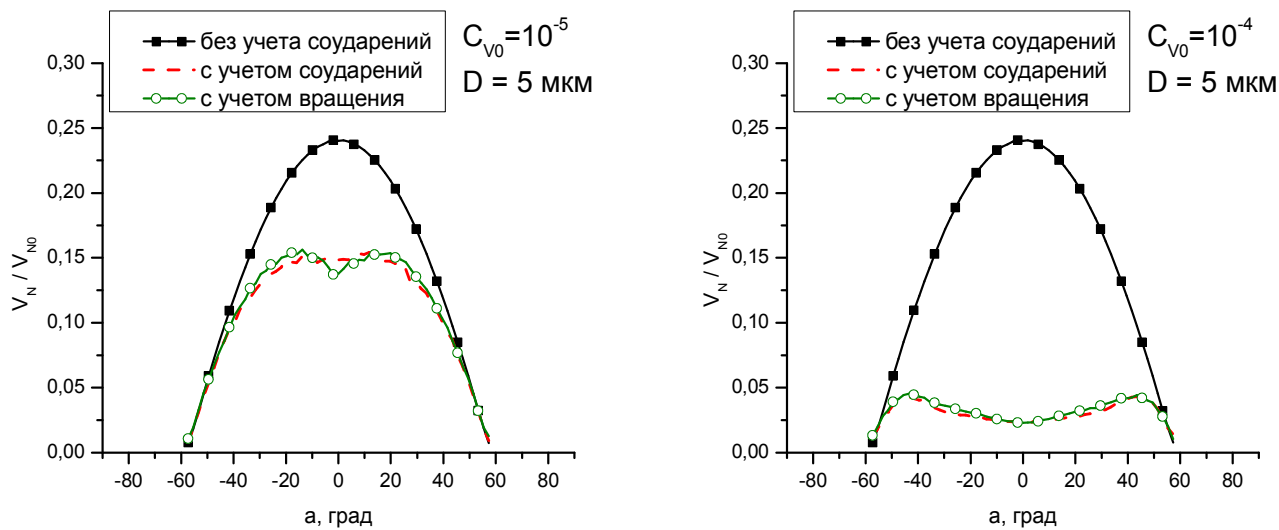


Рис. 4. Средняя нормальная составляющая скорости частиц диаметром 5 мкм в момент соударения с поверхностью.

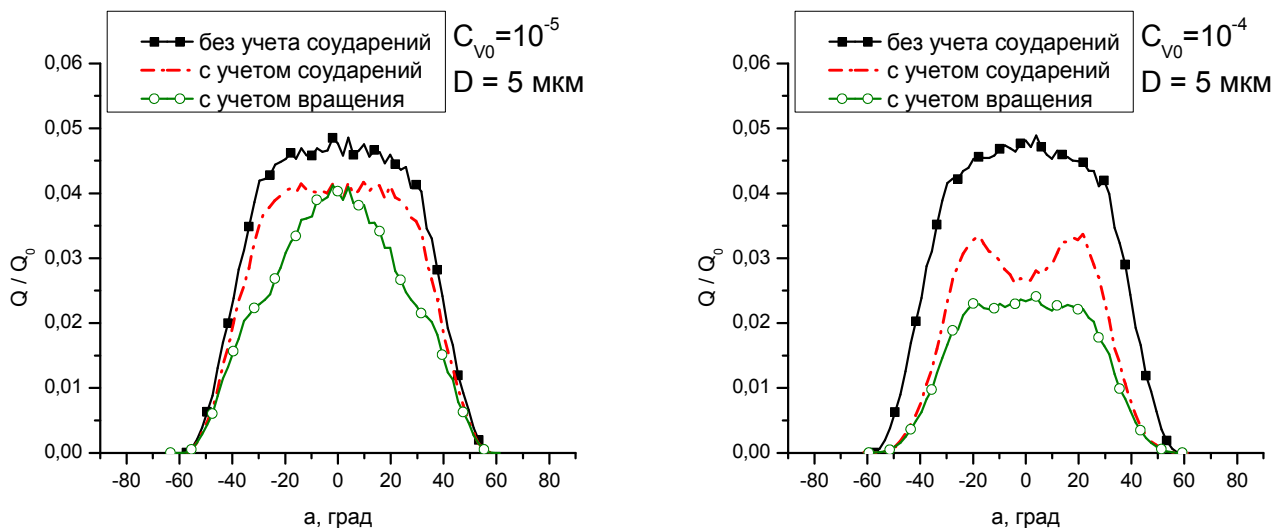


Рис. 5. Удельная мощность воздействия на тело примеси частиц диаметром 5 мкм.

Список литературы

1. Нигматулин Р.И. Основы механики гетерогенных сред. М.: Наука, 1978, 336 с.
2. Стернин Л.Е., Маслов Б.Н., Шрайбер А.А., Подвысоцкий А.М. Двухфазные моно и полидисперсные течения газа с частицами. М.: Машиностроение, 1980, 172 с.
3. C.T. Crowe, M. Sommerfeld, Y. Tsuji. Multiphase flows with droplets and particles. CRC Press LLC, 1998, 471 p.
4. Гишинский М.М., Стасенко А.Л. Сверхзвуковые газодисперсные струи. М.: Машиностроение, 1990, 176 с.
5. Tsirkunov Yu. M. Gas-particle flows around bodies – key problems, modeling and numerical analysis. // Proc. Fourth International Conference on Multiphase Flow (Ed.: E. Michaelides), May 27 – June 1, 2001, New Orleans, LA, USA. – CD ROM Proc. ICMF'2001, paper No. 609, 31 p.
6. Henderson C.B. Drag coefficients of spheres in continuum and rarefied flows. // AIAA Journal Vol. 14, No. 6, June 1976. P. 707-708.
7. Rubinow S.I., Keller J.B. The transverse force on a spinning sphere moving in viscous fluid. // J. Fluid Mech. 1961. V. 11. Pt. 3. P. 447-459.
8. Oesterle B., Bui Dinh T. Experiments on the lift of a spinning sphere in a range of intermediate Reynolds numbers. // Experiments in Fluids. Vol. 25, No. 1, June 1998. P. 16-22.
9. Dennis S.C.R., Singh S.N., Ingham D.B. The steady flow due to a rotating sphere at low and moderate Reynolds numbers. // J. Fluid Mech. 1981. V. 101. Pt. 2. P. 257-280.
10. McNamara S., Falcon E. Simulations of vibrated granular medium with impact-velocity-dependent restitution coefficient. // Physical Review E 71 2005. 031302-1 - 031302-6.

11. Циркунов Ю.М., Панфилов С.В., Клычников М.Б. Полуэмпирическая модель ударного взаимодействия дисперсной частицы примеси с поверхностью, обтекаемой потоком газозвеси. // Инж.-физ. журн. 1994. Т. 67. № 5, 6. С. 379-386.
12. Подвысоцкий В. Общий аналитический метод решения алгебраических уравнений четвертой степени. // Электронная библиотека «Наука и техника». - <http://www.n-t.org/tp/ns/oam.htm> (17.11.2006)
13. Любимов А.Н., Русанов В.В. Течения газа около тупых тел: в 2 ч. Ч. 1. М.: Наука, 1970. - 287 с.
14. Любимов А.Н., Русанов В.В. Течения газа около тупых тел: в 2 ч. Ч. 2. М.: Наука, 1970. - 379 с.

Сведения об авторах

*Ревизников Дмитрий Леонидович, профессор кафедры вычислительной математики и программирования Московского авиационного института (государственного технического университета), д.ф.-м.н;
e-mail: reviz@k806.mainet.msk.su;
контактный телефон: 158-48-94;*

*Способин Андрей Витальевич, аспирант кафедры вычислительной математики и программирования Московского авиационного института (государственного технического университета);
e-mail: spise@inbox.ru;
контактный телефон: 777-00-55.*